

数值偏微分方程课程报告1

陈柏锦

2025-10-13

摘要

本文实现并应用CSR（Compressed Sparse Row，压缩行存储）格式来存储和计算由二维Dirichlet边界泊松方程离散产生的稀疏线性方程组。报告给出CSR核心要素、矩阵装配（包括普通矩形域与切除三角形形成的非凸域），以及基本运算（SpMV、上/下三角与对角提取）以支持Jacobi与Gauss-Seidel迭代。针对网格上标记为`pt_type=2`的“近斜界面”点，本文根据实际代码（`mesh.cpp`）采用特殊非对称格式近似拉普拉斯，从而在靠近斜率为2的边界处获得更好的离散与求解性能。

1 任务与目标

实现CSR稀疏矩阵存储格式，核心功能：

1. 存储元素：非零元个数 nnz 、矩阵规模 (m, n) 、每行起始位置（`row_ptr`）、非零元列索引（`col_idx`）以及元素值（`val`）。
2. 构造稀疏矩阵：以二维Dirichlet边界泊松方程系数矩阵为例（五点格式为主），并支持通过屏蔽三角区域形成的非凸域。
3. 基本操作：矩阵向量乘法（SpMV）、提取上下三角、提取对角线（服务于Jacobi/GS等迭代求解）。

2 CSR 存储格式

CSR（行压缩）用三条数组表示 $A \in \mathbb{R}^{m \times n}$ 的非零结构：

- **row_ptr**（长度 $m+1$ ）：第 i 行的非零条目在 `col_idx/val` 中的范围为 $[\text{row_ptr}[i], \text{row_ptr}[i+1])$ 。
- **col_idx**（长度 nnz ）：对应非零条目的列索引（0-based）。
- **val**（长度 nnz ）：对应非零条目的数值。

元信息包括 m, n, nnz 。装配时常由三元组 (i, j, val) 累积后经排序与扫描压缩为CSR。

3 二维泊松方程与矩阵装配

考虑正拉普拉斯问题

$$\Delta u = f \quad \text{in } \Omega, \quad u = g \quad \text{on } \partial\Omega,$$

在规则张量网格上，内点 (i, j) 的五点格式

$$\frac{u_{i-1,j} - 2u_{i,j} + u_{i+1,j}}{h_x^2} + \frac{u_{i,j-1} - 2u_{i,j} + u_{i,j+1}}{h_y^2} = f_{i,j}$$

对应行系数：

$$A_{p,p} = \frac{2}{h_x^2} + \frac{2}{h_y^2}, \quad A_{p,p \pm 1(x\text{邻})} = -\frac{1}{h_x^2}, \quad A_{p,p \pm n_x(y\text{邻})} = -\frac{1}{h_y^2}.$$

Dirichlet 边界行替换为单位行： $A_{p,p} = 1$, $b_p = g$ 。

3.1 点类型与装配规则

网格点按 `pt_type` 分类：

- **pt_type=0** (不可用)：位于被切除三角形内部，不参与装配。
- **pt_type=1** (边界)：Dirichlet 边界，行置单位， b 取边值。
- **pt_type=3** (内部/常规)：采用标准五点格式，持有左右上下四个邻接条目与对角线。
- **pt_type=2** (近斜界面)：靠近斜率为2的斜界面（由三角切除形成的非凸边界）。为避免使用被移除点并增强稳定性，采用特殊非对称格式近似 Δu （见下文）。

3.2 近斜界面特殊格式 (pt_type=2)

根据源码 (`mesh.cpp`) 对 `pt_type=2` 的行，使用如下条目（只在相应邻居存在且为活动点时加入）。设当前活动点线性索引为 p ，其四个特别使用的邻居为 $(i-1, j)$ 、 $(i+1, j+1)$ 、 $(i, j-1)$ 、 $(i-1, j-1)$ ，则离散行中非对角与对角系数为

$$\begin{aligned} A_{p,p(i-1,j)} &= -\frac{2}{h_x^2}, \\ A_{p,p(i,j-1)} &= -\frac{2}{h_y^2}, \\ A_{p,p(i+1,j+1)} &= -\frac{1}{h_x h_y}, \\ A_{p,p(i-1,j-1)} &= \frac{1}{h_x h_y}, \\ A_{p,p} &= -\sum_{\substack{q \neq p \\ \text{同一行}}} A_{p,q}. \end{aligned}$$

上述格式可理解为沿斜界面方向的一侧差分与混合项的组合，避免访问被移除区域的节点，同时在几何非凸、网格与界面不对齐的情形下，保持离散在预解后的对角占优性

说明 对于 `pt_type=2` 的条目，系数并非标准五点格式，包含了跨对角 $((i \pm 1, j \pm 1))$ 的混合项。实际装配时，仅当对应邻居有效（映射线性索引 $\neq -1$ ）时才写入该非零元。

4 CSR 基本操作

4.1 SpMV: $y \leftarrow Ax$

CSR 的 SpMV 为逐行线性扫描（时间复杂度 $O(\text{nnz})$ ），访存连续，有利于缓存与向量化。

4.2 提取上/下三角与对角线

按行扫描，保留满足条件的条目并重建 CSR:

- 下三角 R (含对角): $j \leq i$;
- 上三角 U (含对角): $j \geq i$;
- 对角线 D : $j = i$; 若缺失可置 ε (提高迭代稳健性)。

5 迭代方法与实现要点

Jacobi $D = \text{diag}(A)$, $R = A - D$, 更新

$$x^{(k+1)} = D^{-1}(b - Rx^{(k)}).$$

实现上用一次非零线性扫描累加每行的非对角贡献（支持 OpenMP 并行），再并行更新新解。

Gauss-Seidel 按行顺序前代入:

$$x_i^{(k+1)} = \frac{1}{a_{ii}} \left(b_i - \sum_{j < i} a_{ij} x_j^{(k+1)} - \sum_{j > i} a_{ij} x_j^{(k)} \right).$$

本工程采用对非零元单次线性扫描（先按行、列排序或直接利用 CSR 行段），在同一 sweep 中就地更新 x ，避免重复索引与额外存储。

6 数值实验与误差分析

非凸域（切三角） 通过屏蔽三组三角区域，形成不规则边界，靠近斜界面处采用 `pt_type=2` 特殊格式。实验（日志）显示： $n = 22817$ （自由度），非零元 $\text{nnz} = 111,781$ ，GS 收敛迭代步数 31194，最终残差范数 8.19×10^{-7} ，用时约 15.41s；误差指标 $\|e\|_\infty \approx 2.64 \times 10^{-5}$ ， $\|e\|_2 \approx 8.99 \times 10^{-6}$ 。与标准五点相比，近界面处的非对称项能减少访问无效节点带来的误差与发散风险。

矩形域 (naive) 结果补充 完整矩形域 (无切除), 外边界为Dirichlet 并使用同一解析解。该例装配得到 $nnz = 162,693$, 自由度 $n = 33,153$ 。Gauss-Seidel 在容差 10^{-10} 下收敛于第 52055 次迭代: 误差为 $\|e\|_\infty \approx 5.0 \times 10^{-5}$, $\|e\|_2 \approx 1.509 \times 10^{-5}$ 。在当前分辨率下, 矩形域误差略高于非凸域结果, 主要由于: (i) 自由度增加使条件数增大, GS 收敛更慢, 迭代终止时误差更受迭代误差影响; (ii) 误差度量覆盖区域不同 (非凸域排除了三角切除区), 导致整体指标可有细微差异。提升精度的途径包括网格加密、切换到更高效的Krylov方法 (如CG/PCG) 或多重网格预条件。

案例	自由度 n	非零元 nnz	GS迭代步	误差 ($\ e\ _\infty / \ e\ _2$)
非凸域 (R形)	22,817	111,781	31,194	$2.64 \times 10^{-5} / 8.99 \times 10^{-6}$
矩形域	33,153	162,693	52,055	$5.00 \times 10^{-5} / 1.509 \times 10^{-5}$

表 1: 两种区域下的装配规模、GS收敛与误差对比 (公用解析解与边界条件)。

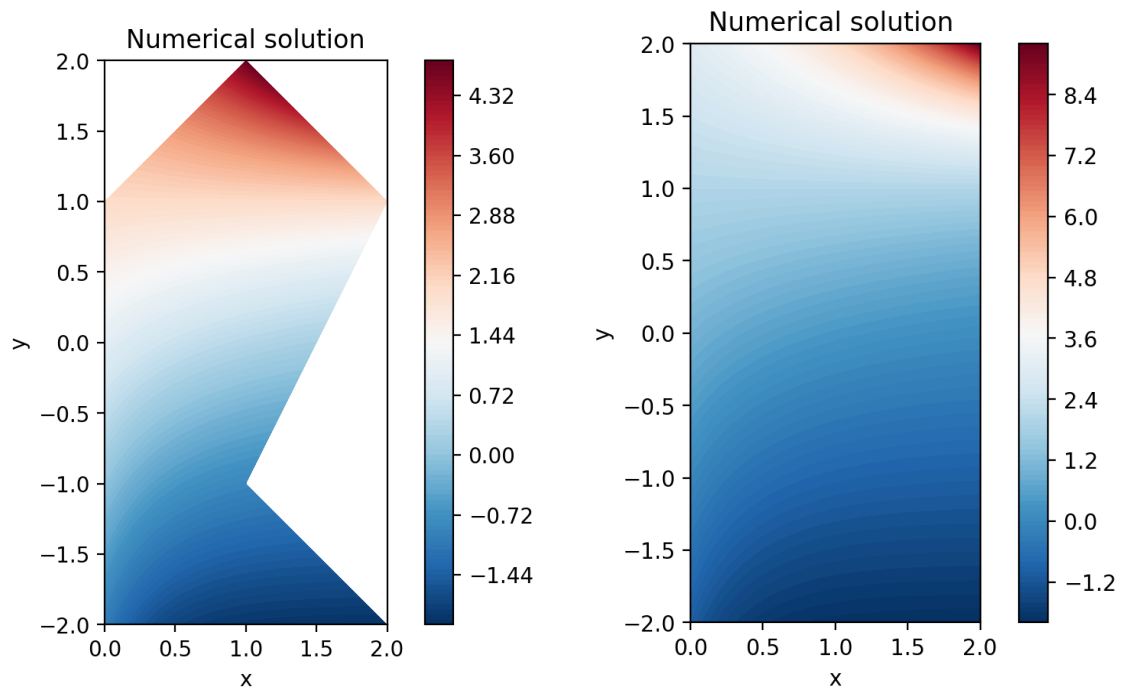


图 1: 左: 非凸域数值解; 右: 矩形域数值解。

7 结论

本文实现了CSR稀疏格式、二维泊松方程系数矩阵装配与基本稀疏运算, 并在Jacobi与Gauss-Seidel迭代中验证了其有效性。针对靠近斜率为2的复杂边界, 代码对 `pt.type=2` 采用了特殊非对称格式, 既避免了访问被切除区域, 又在数值上保持了良好收敛。

代码与数据 矩阵与解存储于 `results/` 目录; 绘图脚本见 `plot.py` 与 `naive.py`。